

Рис. 1. Схема саркоплазматического ретикулума

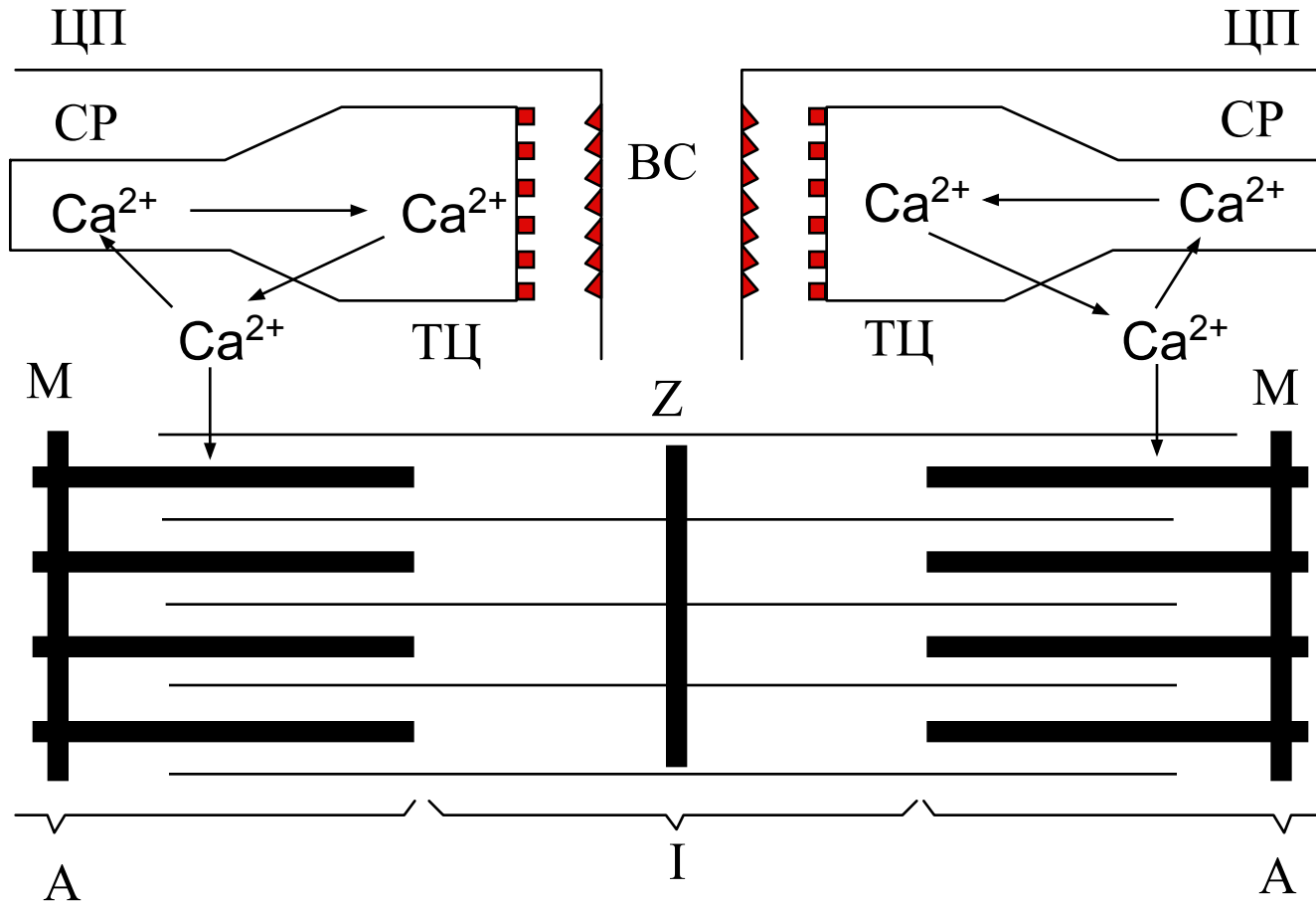


Рис. 2. Везикула саркоплазматического ретикулума

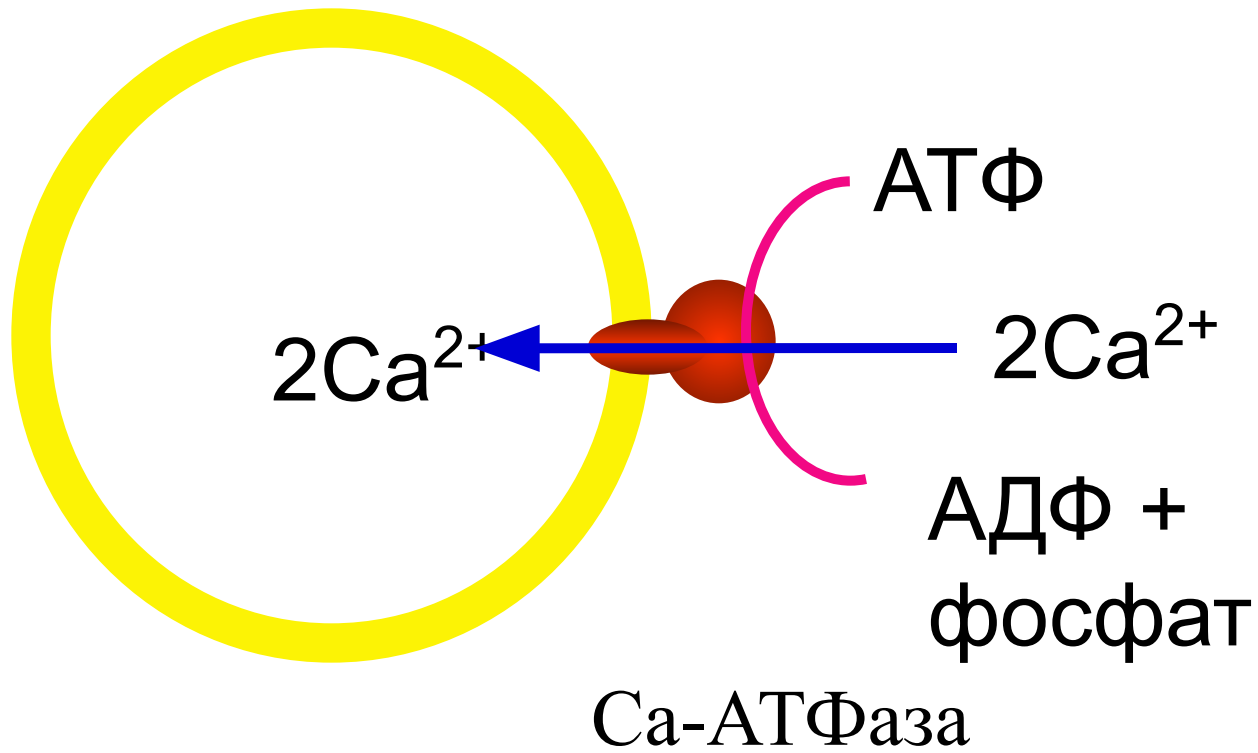


Рис. 3. Работа Са-АТФазы

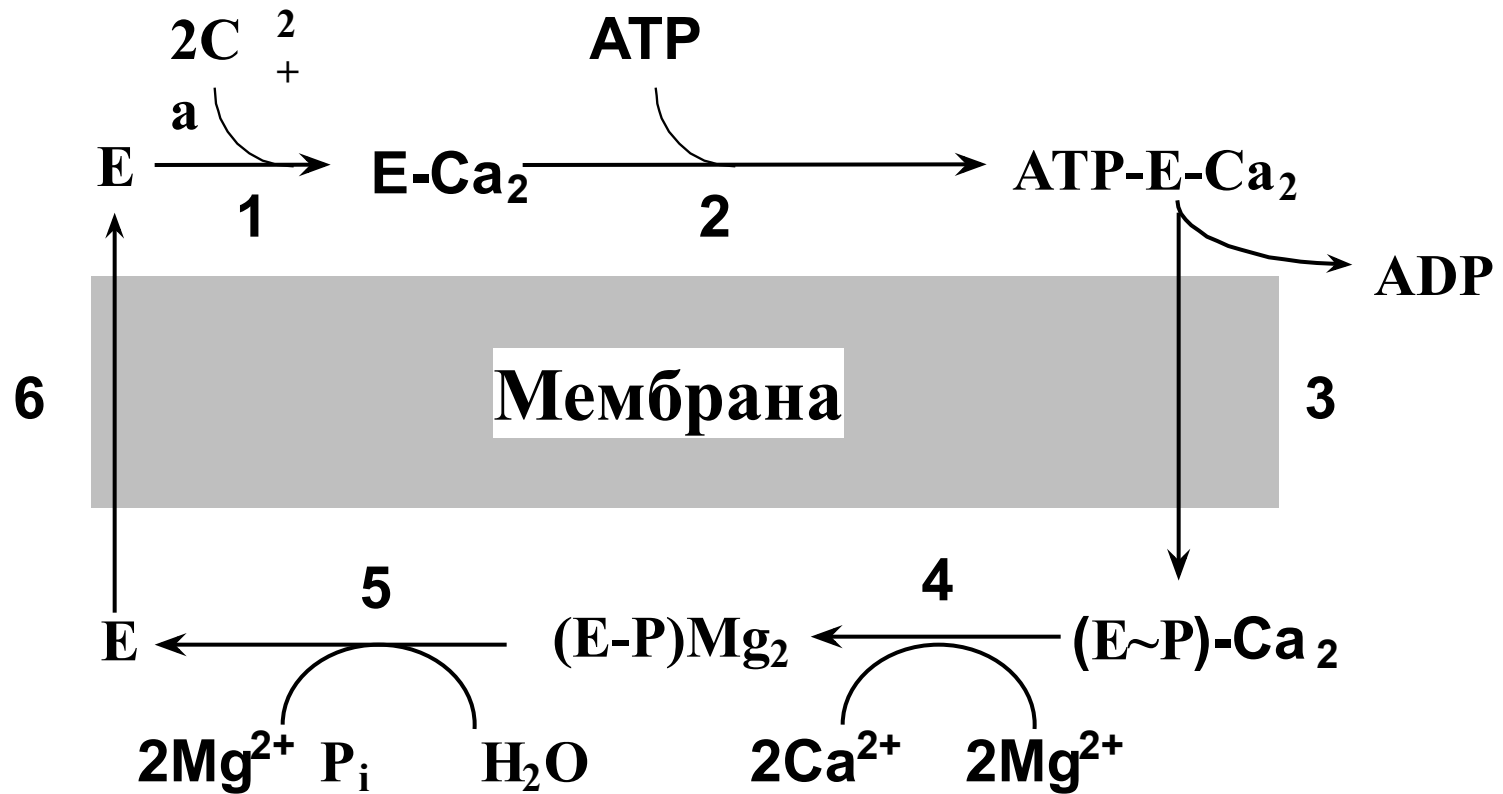


Рис. 4. Общая схема строения Са-АТФазы

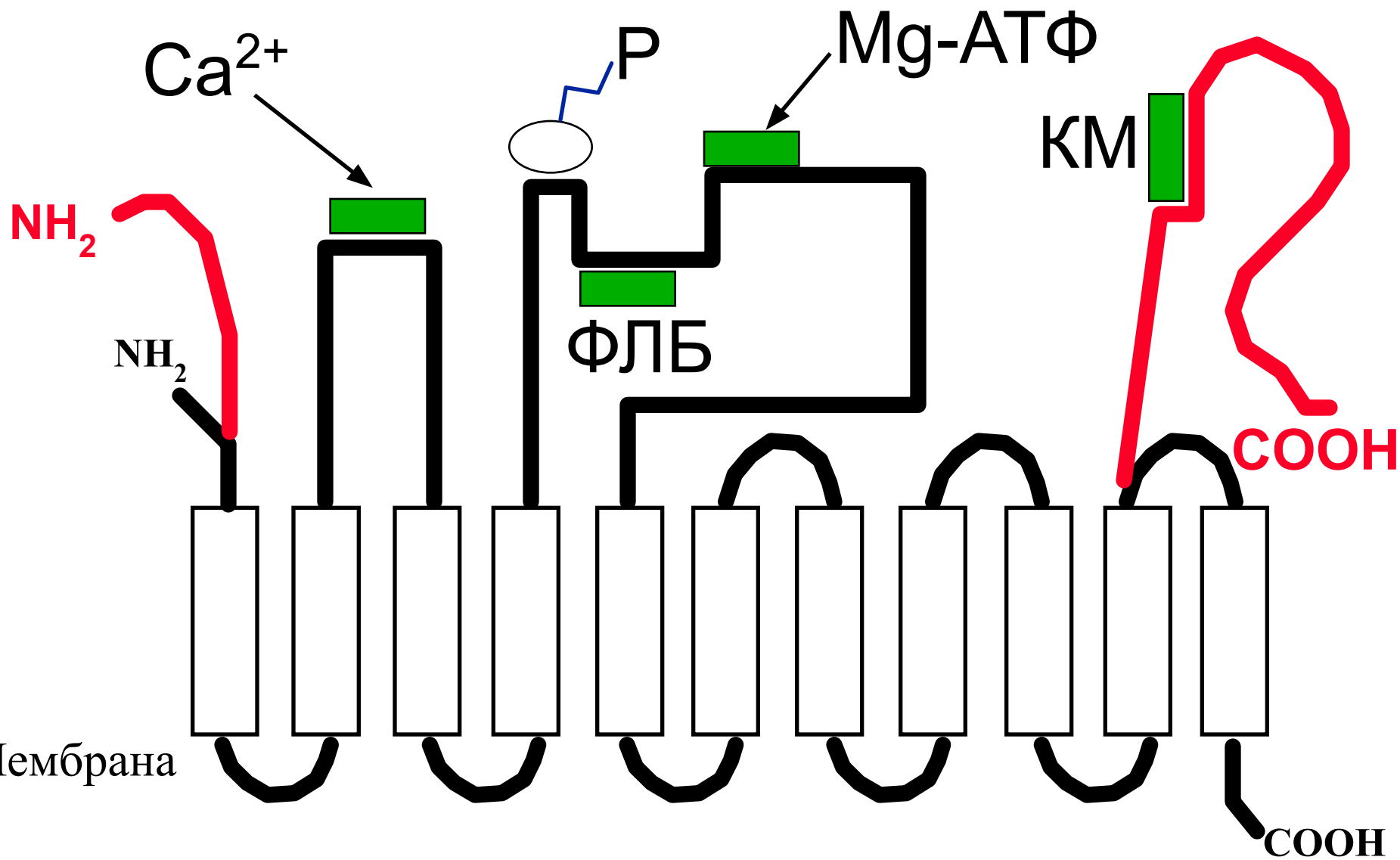


Рис. 5. Действие перекисного окисления липидов на Ca^{2+} -АТФазу

В опытах использовали изолированные пузырьки саркоплазматического ретикулума. Определяли скорость гидролиза АТФ ($V_{\text{АТФ}}$), накопления Ca^{2+} везикулами (V_{Ca}) и отношение $\text{Ca}^{2+}/\text{АТФ}$. Все эти величины уменьшались при перекисном окислении липидов, но по-разному. Раньше других снижалась способность везикул накапливать кальций.

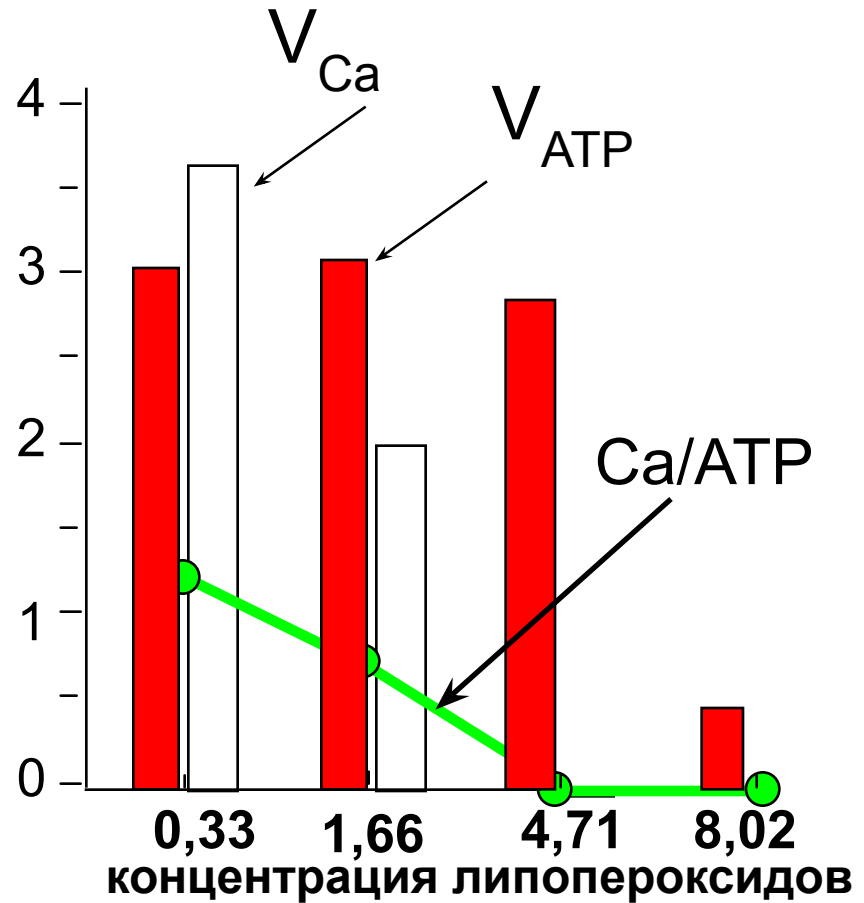
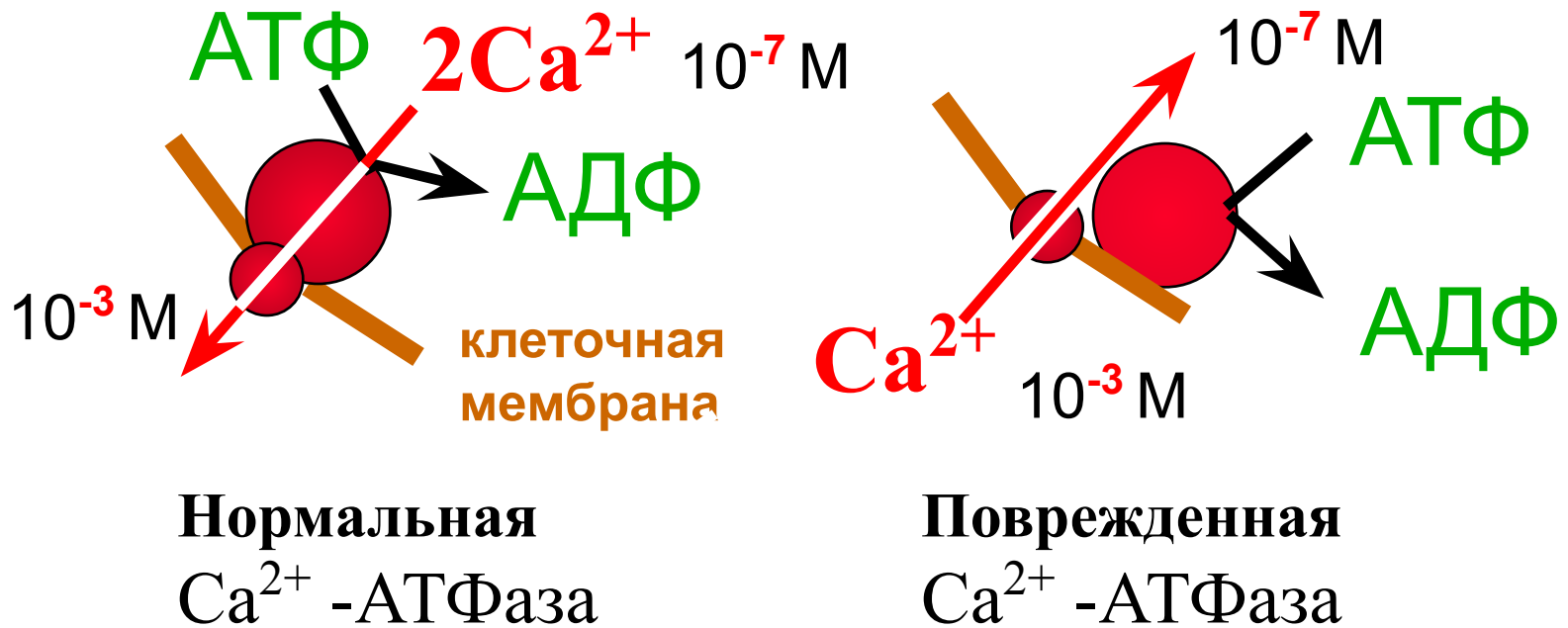


Рис. 6. Пероксидное повреждение Ca-АТФазы



Цикл работы Са-АТФазы

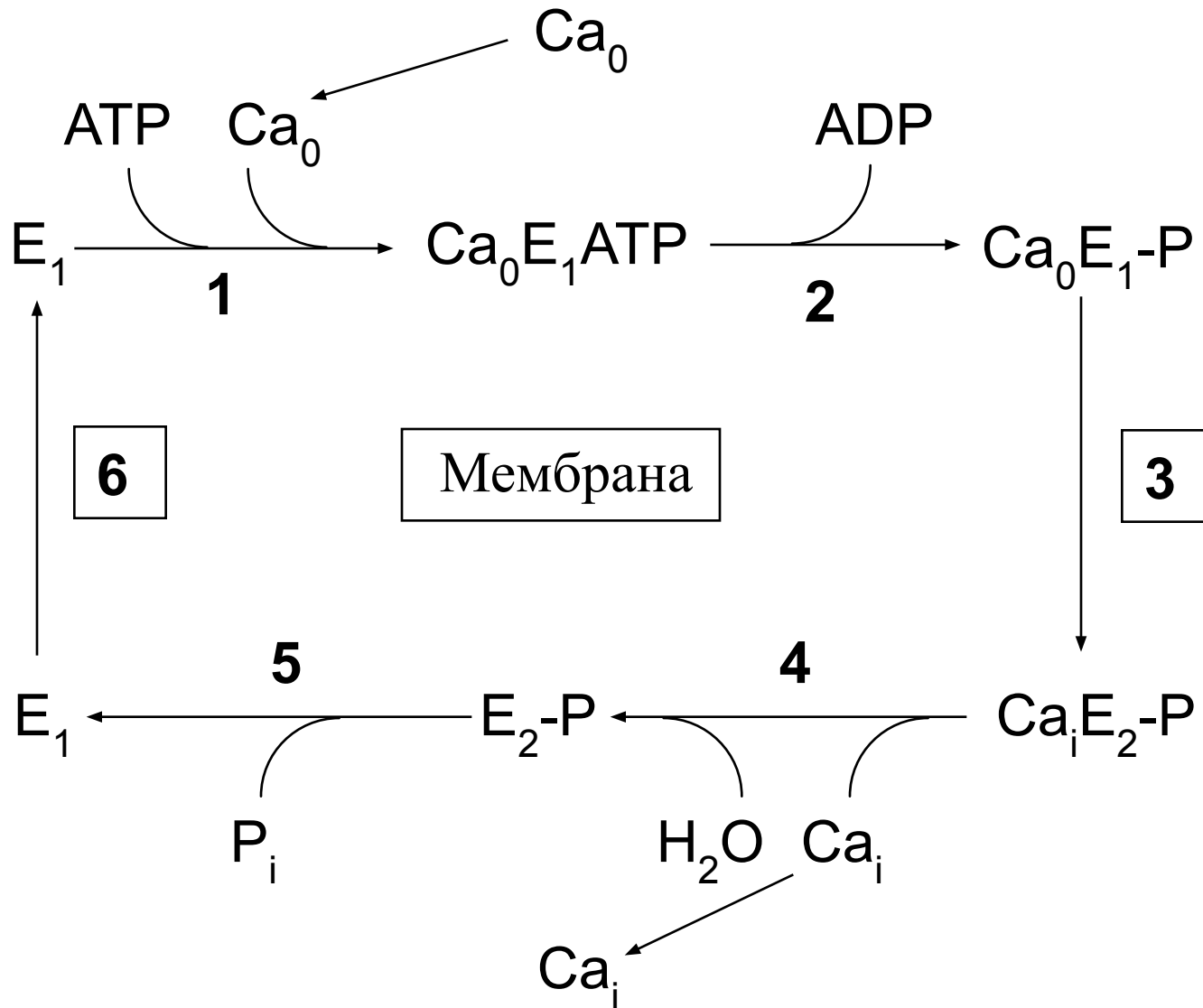
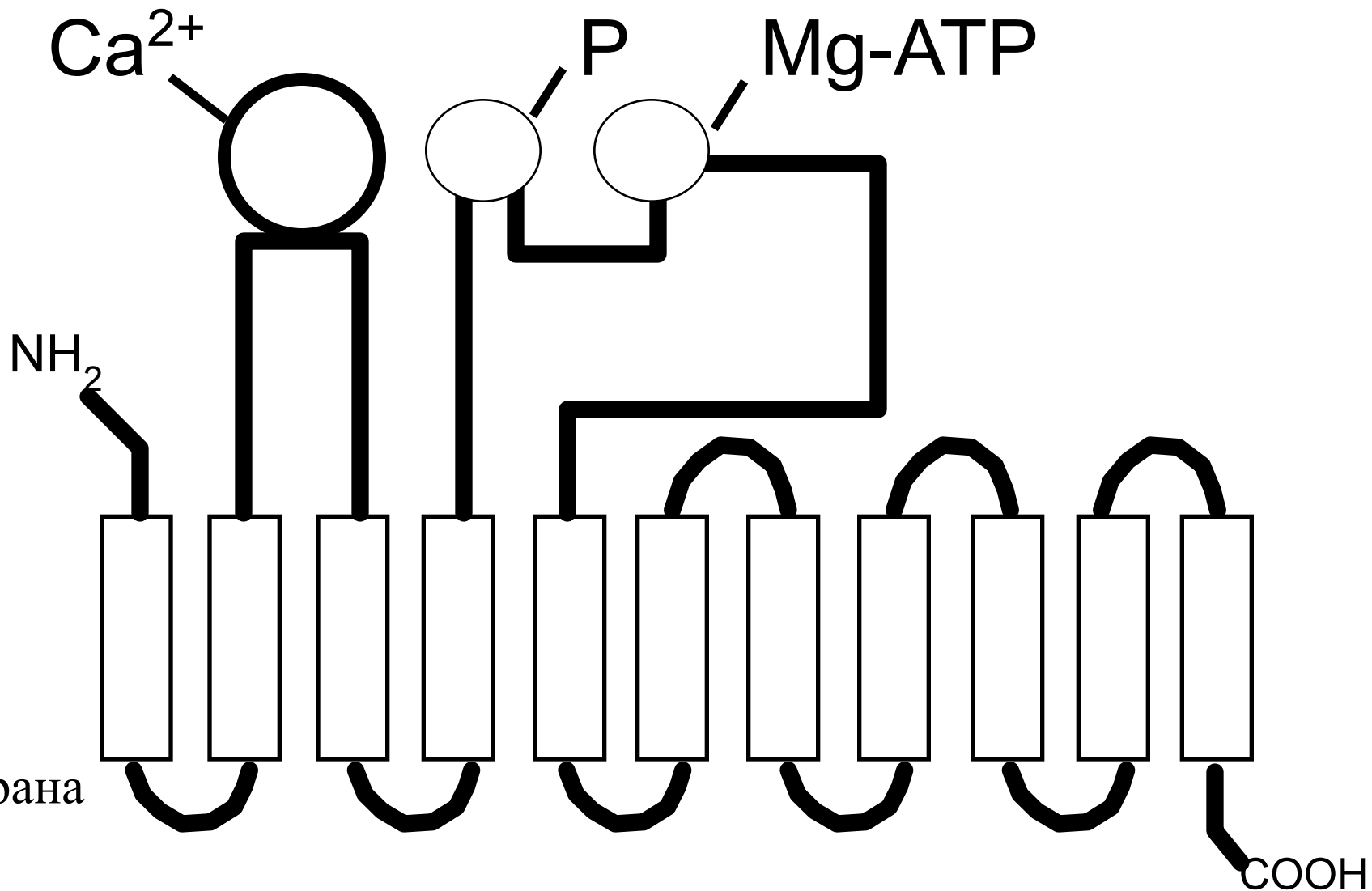


Рис. 4. Строение Са-АТФазы саркоплазматического ретикулума



Цикл работы Са-АТФазы

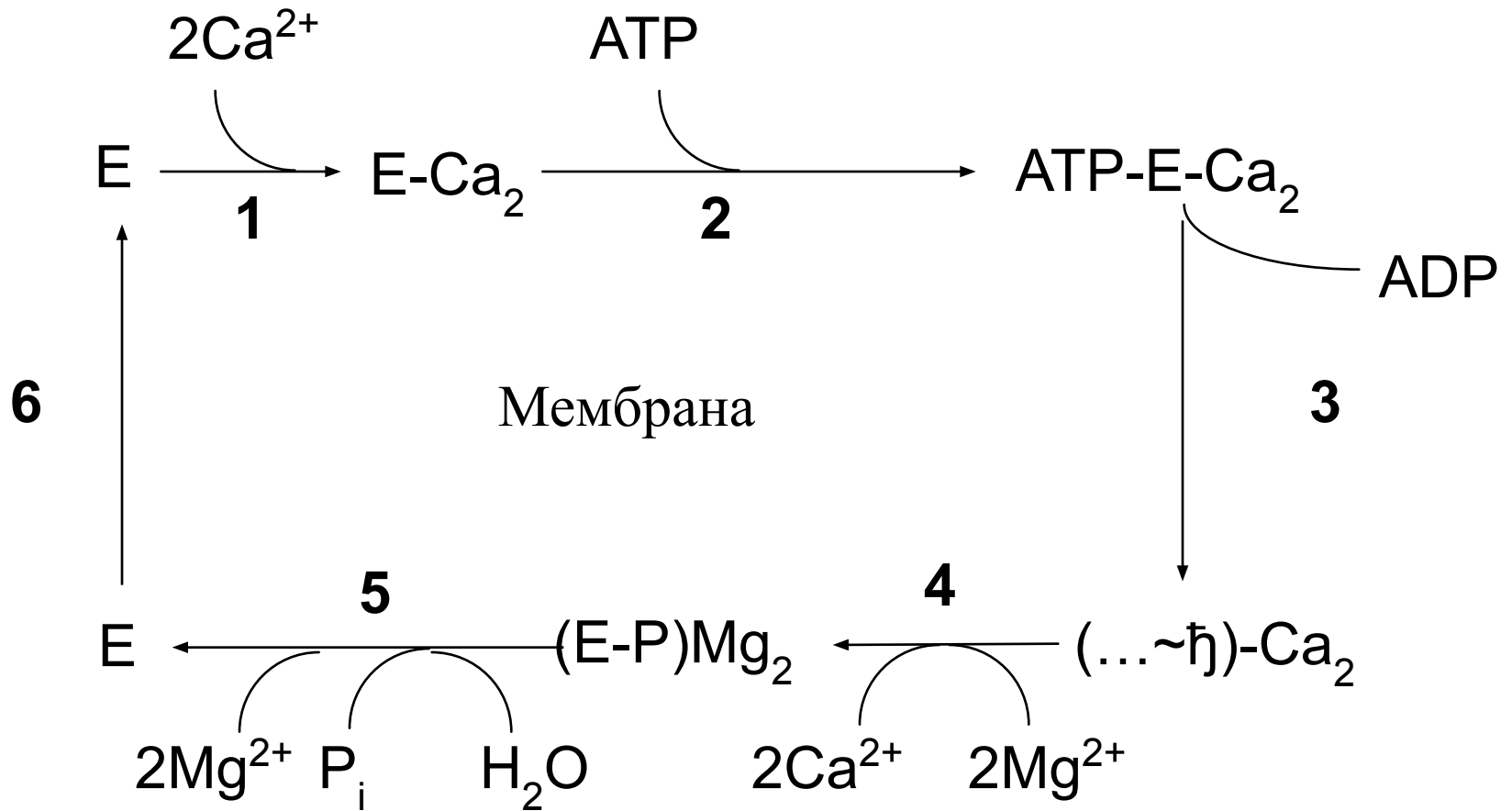
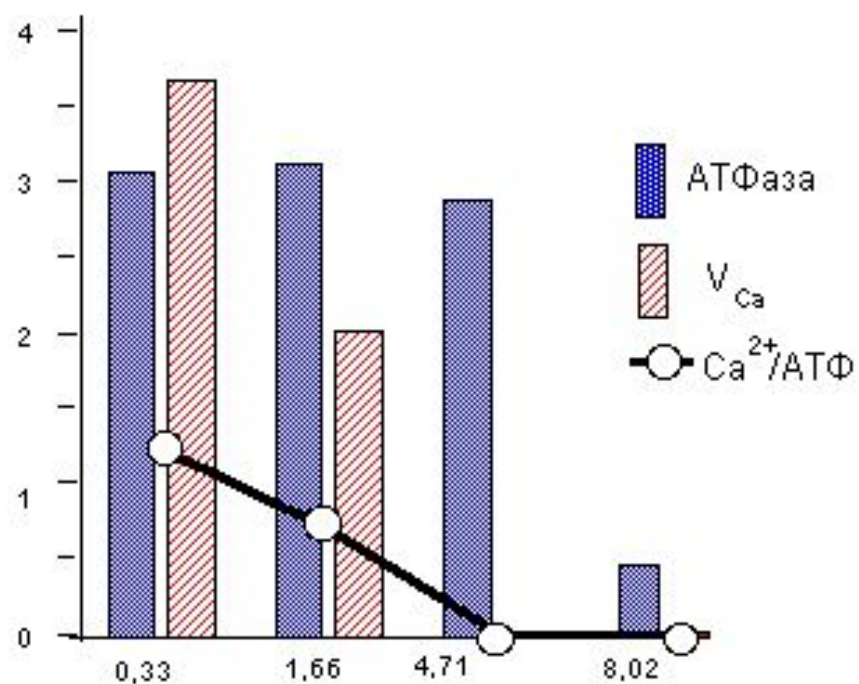
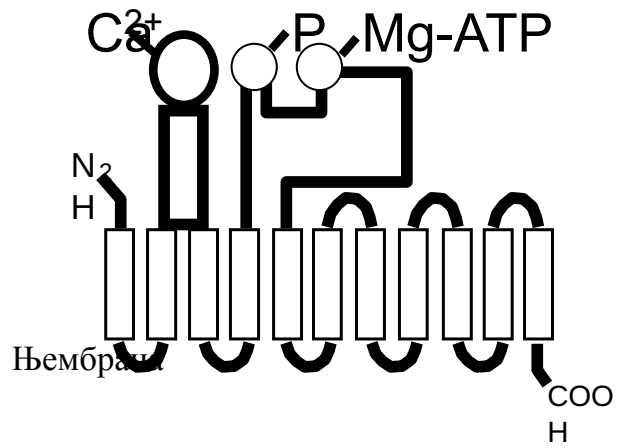


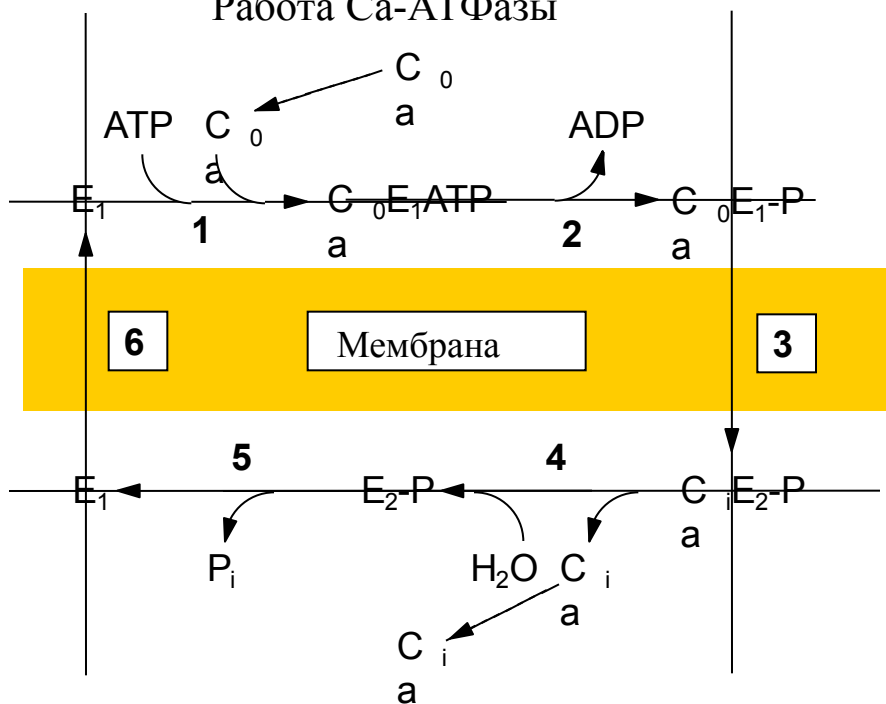
Рис. 5



Продукты перекисного окисления (μмоль/г белка)



Работа Са-АТФазы



Работа Са- АТФазы

